

Geometria da Informação: Métrica de Fisher

Julianna Pinele Santos Porto,

Instituto de Matemática, Estatística e Computação Científica, UNICAMP,
13083-859, Campinas, SP
E-mail: juli_pinele@hotmail.com.

João Eloir Strapasson

Faculdade de Ciências Aplicadas, UNICAMP
13484-350, Limeira, SP
E-mail: joao.strapasson@fca.unicamp.br.

Resumo: *A Geometria da Informação é uma área da matemática que utiliza ferramentas geométricas no estudo de modelos estatísticos. Em 1945, Rao introduziu uma métrica Riemanniana no espaço das distribuições de probabilidade usando a matriz de informação, dada por Ronald Fisher em 1921. Com a métrica associada a essa matriz, define-se uma distância entre duas distribuições de probabilidade (distância de Rao), geodésicas, curvaturas e outras propriedades do espaço. Desde então muitos autores veem estudando esse assunto que está naturalmente ligado à diversas aplicações: inferência estatística, processos estocásticos, teoria da informação, distorção de imagens.*

Neste trabalho mostramos a distância de Rao no espaço formado por distribuições Normais Multivariadas. Neste espaço, como ainda não é conhecida uma fórmula fechada para a distância e nem para a curva geodésica, damos ênfase ao cálculo de limitantes para a distância de Rao. Conseguimos melhorar, em alguns casos, o limitante superior dado por Calvo e Oller em 1990.

Palavras-chave: *Geometria da Informação, Métrica de Fisher, Limitantes.*

1 Métrica de Fisher

Seja S uma família de distribuições de probabilidade sobre X . Suponha que cada elemento de S , uma distribuição de probabilidade, seja parametrizado por n variáveis reais $(\theta_1, \theta_2, \dots, \theta_n)$, isto é,

$$S = \{p_{\theta} = p(x, \theta); \theta = (\theta_1, \theta_2, \dots, \theta_n) \in \Theta\},$$

para $\Theta \subset \mathbb{R}^n$ e a aplicação injetiva $\theta \mapsto p_{\theta}$. Chamamos S de modelo estatístico de dimensão n .

Dado um modelo estatístico $S = \{p_{\theta}; \theta \in \mathbb{R}^n\}$ podemos definir uma aplicação injetiva $\varphi : U \rightarrow S$, $U \subset \mathbb{R}^n$, dada por $\varphi(\theta) = p_{\theta}$. Dessa forma, dado $p_{\theta} \in S$, o par (U, φ) é um sistema de coordenadas para S em torno de p_{θ} e dizemos que $(\theta_1, \theta_2, \dots, \theta_n) = (\theta_i)$ são as coordenadas de p_{θ} nesse sistema de coordenadas. Seja agora ψ um difeomorfismo injetivo de Θ em $\psi(\Theta)$ tal que ψ e ψ^{-1} sejam C^{∞} , se usarmos $\xi = \psi(\theta)$ como nosso parâmetro em vez de θ , obtemos $S = \{p_{\psi^{-1}(\xi)}; \xi \in \psi(\Theta)\}$, a qual é a mesma família de distribuição de probabilidade $S = \{p_{\theta}; \theta \in \Theta\}$.

Se tomarmos parametrizações que são difeomorfismos C^{∞} então podemos considerar S uma variedade diferenciável C^{∞} , qual chamamos de variedade estatística.

Agora, dada a definição de variedade estatística vamos definir uma métrica nesse espaço. Essa métrica é dada pela matriz de informação de Fisher, definida abaixo:

Definição 1. *(Matriz de informação Fisher) Seja $S = \{p_{\theta}; \theta \in \Theta\}$ um modelo estatístico de dimensão n . Dado um ponto $\theta \in \Theta$, a matriz de informação Fisher de S em θ é a matriz*

$G(\boldsymbol{\theta}) = [g_{ij}(\boldsymbol{\theta})]$ de ordem n , com

$$g_{ij}(\boldsymbol{\theta}) = E_{\boldsymbol{\theta}}[\partial_i \log p(x, \boldsymbol{\theta}) \partial_j \log p(x, \boldsymbol{\theta})] = \int \partial_i \log p(x, \boldsymbol{\theta}) \partial_j \log p(x, \boldsymbol{\theta}) p(x, \boldsymbol{\theta}) dx,$$

caso a integral exista. Aqui, $\partial_i \stackrel{\text{def}}{=} \frac{\partial}{\partial \theta_i}$ e $E_{\boldsymbol{\theta}}$ é a esperança com respeito a distribuição $p_{\boldsymbol{\theta}}$, $E_{\boldsymbol{\theta}}[f] = \int f(x)p(x, \boldsymbol{\theta})dx$. Para $n = 1$, chamamos $G(\boldsymbol{\theta})$ de informação Fisher.

Uma variedade estatística S munida da métrica acima é uma variedade Riemanniana.

Exemplo 2. Uma distribuição normal univariada com média μ e desvio padrão σ , $N(\mu, \sigma)$ é definida por

$$p(x; \mu, \sigma) = \frac{1}{\sqrt{2\pi}\sigma} \exp \left[-\frac{1}{2} \left(\frac{x - \mu}{\sigma} \right)^2 \right].$$

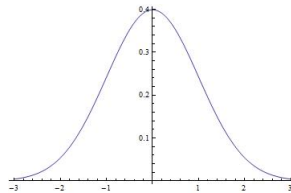


Figura 1: Distribuição normal univariada, $N(0, 1)$.

Seja $S = \{p_{\boldsymbol{\theta}}; \boldsymbol{\theta} \in \Theta\}$ nosso modelo estatístico formado por essas distribuições. Nesse caso o parâmetro $\boldsymbol{\theta}$ é dado por duas variáveis $\boldsymbol{\theta} = (\theta_1, \theta_2) \in \Theta = \{(\mu, \sigma); \mu \in \mathbb{R}, \sigma \in (0, +\infty)\}$. A matriz de informação de Fisher de S em $\boldsymbol{\theta} = (\mu, \sigma)$ é dada por

$$G(\boldsymbol{\theta}) = \begin{pmatrix} \frac{1}{\sigma^2} & 0 \\ 0 & \frac{2}{\sigma^2} \end{pmatrix}.$$

2 Distância entre distribuições

Nesta seção vamos mostrar a distância entre duas distribuições para algumas famílias de distribuições de probabilidade. Encontrar distância geodésicas é um problema muito complexo, pois requer a resolução de equações diferenciais de segunda ordem. Em 1945, Rao [8] calculou a distância geodésica entre duas distribuições normais univariadas. Desde então diversos autores veem trabalhando com o problema de encontrar formulas gerais para distribuições geodésica de algumas distribuições, veja [2, 9, 6, 3].

2.1 Distribuições Normais Univariadas

Para distribuições normais, com parâmetros $\boldsymbol{\theta} = (\mu, \sigma)$, a métrica associada a matriz dada no Exemplo 2 é

$$ds^2 = \frac{d\mu^2 + 2d\sigma^2}{\sigma^2}.$$

Agora, dadas duas distribuições normais $N(\mu_1, \sigma_1)$ e $N(\mu_2, \sigma_2)$, queremos saber qual a distância entre elas. Dados dois pontos $P = (\mu_1, \sigma_1)$ e $Q = (\mu_2, \sigma_2)$ do espaço dos parâmetros dado pelo plano superior média×desvio padrão, \mathbb{H}_F^2 , a distância entre P e Q é dada por

$$d_{\mathbb{H}_F^2}(P, Q) = \min \left\{ \int_{\gamma} \sqrt{\langle \gamma'(t), \gamma'(t) \rangle_{\mathbb{H}_F^2}} dt; \gamma \text{ é curva diferenciável ligando } P \text{ e } Q \right\}$$

Observando a matriz da métrica, vemos que é um modelo geométrico hiperbólico o qual pode ser relacionado com o plano de Poincaré, $\mathbb{H}^2 = \{(x, y) \in \mathbb{R}^2; y > 0\}$. A distância de Fisher e Poincaré estão relacionadas por

$$d_{\mathbb{H}_F^2}((\mu_1, \sigma_1); (\mu_2, \sigma_2)) = \sqrt{2}d_{\mathbb{H}^2} \left(\left(\frac{\mu_1}{\sqrt{2}}, \sigma_1 \right); \left(\frac{\mu_2}{\sqrt{2}}, \sigma_2 \right) \right).$$

Em [6], temos que a distância é Rao, é dada por

$$d_{\mathbb{H}_F^2}((\mu_1, \sigma_1); (\mu_2, \sigma_2)) = \sqrt{2} \log \frac{\left| \left(\frac{\mu_1}{\sqrt{2}}, \sigma_1 \right) - \left(\frac{\mu_2}{\sqrt{2}}, -\sigma_2 \right) \right| + \left| \left(\frac{\mu_1}{\sqrt{2}}, \sigma_1 \right) - \left(\frac{\mu_2}{\sqrt{2}}, \sigma_2 \right) \right|}{\left| \left(\frac{\mu_1}{\sqrt{2}}, \sigma_1 \right) - \left(\frac{\mu_2}{\sqrt{2}}, -\sigma_2 \right) \right| - \left| \left(\frac{\mu_1}{\sqrt{2}}, \sigma_1 \right) - \left(\frac{\mu_2}{\sqrt{2}}, \sigma_2 \right) \right|}.$$

Dessa forma, as geodésicas de \mathbb{H}_F^2 são as imagens das geodésicas de \mathbb{H}^2 por meio da transformação

$$(\mu, \sigma) \rightarrow \left(\frac{\mu}{\sqrt{2}}, \sigma \right).$$

Essas geodésicas são as semi-retas verticais positivas e as semi-elipses centradas em $\sigma = 0$ com excentricidade $\frac{1}{\sqrt{2}}$.

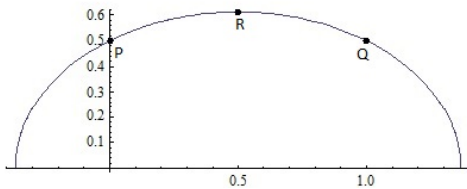


Figura 2: Curva geodésica ligando P e Q no plano $\mu \times \sigma$.

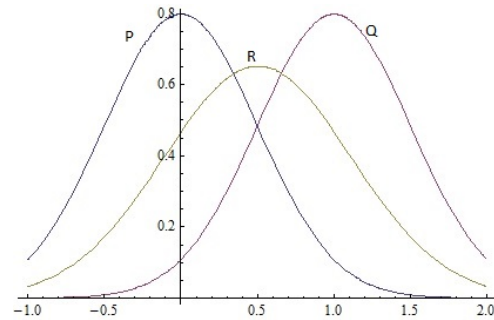


Figura 3: Distribuições normais associadas aos pontos P e Q .

2.2 Distribuições Normais Multivariadas

Uma distribuição normal multivariada é definida por

$$p(\mathbf{x}; \boldsymbol{\mu}, \boldsymbol{\Sigma}) = \frac{(2\pi)^{-\frac{n}{2}}}{\sqrt{Det(\boldsymbol{\Sigma})}} \exp \left(-\frac{(\mathbf{x} - \boldsymbol{\mu})^t \boldsymbol{\Sigma}^{-1} (\mathbf{x} - \boldsymbol{\mu})}{2} \right),$$

para $\mathbf{x}^t = (x_1, \dots, x_n)$, o vetor de médias $\boldsymbol{\mu}^t = (\mu_1, \dots, \mu_n)$ e a matriz de covariância $\boldsymbol{\Sigma}$ de ordem n simétrica definida positiva.

Seja $\mathcal{M} = \{p_{\boldsymbol{\theta}}; \boldsymbol{\theta} \in \Theta = \mathbb{R}^n \times P_n(\mathbb{R})\}$ o modelo estatístico formado por essas distribuições. A equação da métrica da informação de Fisher de \mathcal{M} , dada por Skovargaard, ver referência [9] é

$$ds^2 = d\boldsymbol{\mu}^t \boldsymbol{\Sigma}^{-1} d\boldsymbol{\mu} + \frac{1}{2} tr[(\boldsymbol{\Sigma}^{-1} d\boldsymbol{\Sigma})^2],$$

com $d\boldsymbol{\mu}^t = (d\mu_1, \dots, d\mu_n) \in \mathbb{R}^n$ e $d\boldsymbol{\Sigma} = [d\sigma_{ij}] \in P_n(\mathbb{R})$.

Como ainda não é conhecida uma fórmula fechada pra distância de Rao no caso geral, a seguir descreveremos a distância de Rao de algumas subvariedades \mathcal{M} .

Para estudar o espaço formado por essas distribuições, primeiro vamos analisar alguns casos particulares.

2.3 A matriz de covariância é uma matriz diagonal

Seja $\mathcal{M}_D = \{p_\theta; \theta = (\mu, D) \in \Theta_D\}$; $\Theta_D = \{(\mu, D), D \text{ é diagonal}\} \subset \Theta$, uma subvariedade de \mathcal{M} formada pelas distribuições cujo a matriz de covariância é uma matriz diagonal D . A métrica de Fisher de \mathcal{M}_D é

$$\begin{aligned} ds^2 &= d\mu^t \Sigma^{-1} d\mu + \frac{1}{2} \text{tr}[(\Sigma^{-1} d\Sigma)^2] = d\mu^t D^{-1} d\mu + \frac{1}{2} \text{tr}[(D^{-1} dD)^2] \\ &= \sum_{i=1}^n \frac{(d\mu_i)^2}{d_{ii}} + \frac{1}{2} \text{tr}[D^{-2} dD^2] = \sum_{i=1}^n \frac{(d\mu_i)^2}{d_{ii}} + \frac{1}{2} \sum_{i=1}^n \frac{(dd_{ii})^2}{d_{ii}^2}. \end{aligned}$$

Se a matriz $D = \Sigma$ com a diagonal formada por σ_i^2 's, $i = 1, \dots, n$, \mathcal{M}_D é parametrizado por uma interseção de espaços metade no \mathbb{R}^{2n} , com $\theta = (\mu_1, \sigma_1, \mu_2, \sigma_2, \dots, \mu_n, \sigma_n)$ e a matriz de informação Fisher é:

$$\begin{pmatrix} \frac{1}{\sigma^2} & 0 & \dots & 0 & 0 \\ 0 & \frac{2}{\sigma^2} & \dots & 0 & 0 \\ \vdots & \vdots & \ddots & \vdots & \vdots \\ 0 & 0 & \dots & \frac{1}{\sigma^2} & 0 \\ 0 & 0 & \dots & 0 & \frac{2}{\sigma^2} \end{pmatrix}.$$

A distância para pontos entre duas distribuições com parâmetros $\theta_1 = (\mu_{11}, \sigma_{11}, \mu_{12}, \sigma_{12}, \dots, \mu_{1n}, \sigma_{1n})$ e $\theta_2 = (\mu_{21}, \sigma_{21}, \mu_{22}, \sigma_{22}, \dots, \mu_{2n}, \sigma_{2n})$ é

$$d(\theta_1, \theta_2) = \sqrt{2 \sum_{i=1}^n \left(\log \frac{\left| \left(\frac{\mu_{1i}}{\sqrt{2}}, \sigma_{1i} \right) - \left(\frac{\mu_{2i}}{\sqrt{2}}, -\sigma_{2i} \right) \right| + \left| \left(\frac{\mu_{1i}}{\sqrt{2}}, \sigma_{1i} \right) - \left(\frac{\mu_{2i}}{\sqrt{2}}, \sigma_{2i} \right) \right|}{\left| \left(\frac{\mu_{1i}}{\sqrt{2}}, \sigma_{1i} \right) - \left(\frac{\mu_{2i}}{\sqrt{2}}, -\sigma_{2i} \right) \right| - \left| \left(\frac{\mu_{1i}}{\sqrt{2}}, \sigma_{1i} \right) - \left(\frac{\mu_{2i}}{\sqrt{2}}, \sigma_{2i} \right) \right|} \right)^2}. \quad (1)$$

2.4 A matriz de covariância é constante.

Seja $\mathcal{M}_\Sigma = \{p_\theta; \theta = (\mu, \Sigma) \in \Theta, \Sigma = \Sigma_0 \in P_n(\mathbb{R}) \text{ constante}\}$ uma subvariedade formada por distribuições de normais multivariadas que possuem a mesma matriz de covariância Σ . Nesse espaço podemos relacionar a métrica com a métrica de um espaço Euclidiano. A métrica de Fisher de \mathcal{M}_Σ é

$$ds^2 = d\mu^t \Sigma^{-1} d\mu,$$

e a distância entre duas distribuições normais multivariadas parametrizadas por $\theta_1 = (\mu_1, \Sigma)$ e $\theta_2 = (\mu_2, \Sigma)$ é

$$d_\Sigma(\mu_1, \mu_2) = \sqrt{(\mu_1 - \mu_2)^t \Sigma^{-1} (\mu_1 - \mu_2)}.$$

2.5 O vetor das médias é constante.

Até agora apresentamos a distância de Rao em algumas subvariedades de \mathcal{M} . Acontece que nenhuma das subvariedades citadas são subvariedades totalmente geodésicas. A seguir, apresentamos uma subvariedade totalmente geodésica de \mathcal{M} .

Seja $\mathcal{M}_\mu = \{p_\theta; \theta = (\mu, \Sigma) \in \Theta_\mu\}$, $\Theta_\mu = \{(\mu, \Sigma); \mu = \mu_0 \in \mathbb{R}^n \text{ constante}\} \subset \Theta$ uma subvariedade formada por distribuições que possuem o mesmo vetor de médias μ . A distância nesse espaço é dada pelo seguinte teorema dado por S. T. Jensen em 1976, ver [2] no Apêndice 1.

Teorema 3. *Considere a família de distribuições normais multivariadas \mathcal{M}_μ com o vetor da média comum μ mas com diferentes matrizes de covariância Σ . Dados dois elementos dessa família, parametrizados por $\theta_1 = (\mu, \Sigma_1)$ e $\theta_2 = (\mu, \Sigma_2)$, a distância entre dois elementos dessa família é dada por*

$$d_\mu^2(\Sigma_1, \Sigma_2) = \frac{1}{2} \sum_{i=1}^n [\log(\lambda_i)]^2,$$

para $0 < \lambda_1 \leq \lambda_2 \leq \dots \leq \lambda_n$ autovalores de $\Sigma_1^{-1}\Sigma_2$.

3 Limitantes para a distância

Em 1990, Calvo e Oller, [4], calcularam um limite inferior para a distância de Rao. Eles definiram um mergulho de Θ em $P_{n+1}(\mathbb{R})$ através da aplicação:

$$f : \Theta \rightarrow P_{n+1}(\mathbb{R})$$

$$(\boldsymbol{\mu}, \boldsymbol{\Sigma}) \mapsto \begin{pmatrix} \boldsymbol{\Sigma} + \boldsymbol{\mu}\boldsymbol{\mu}^t & \boldsymbol{\mu} \\ \boldsymbol{\mu}^t & 1 \end{pmatrix}.$$

Uma fórmula para a distância Riemanniana d entre $f(\boldsymbol{\theta}_1)$ e $f(\boldsymbol{\theta}_2)$ é dada pelo teorema abaixo.

Teorema 4. *Seja $\mathbf{S}_i = f(\boldsymbol{\theta}_i) = f(\boldsymbol{\mu}_i, \boldsymbol{\Sigma}_i)$, $i = 1, 2$, dois pontos de $f(\Theta)$, então*

$$d^2(\mathbf{S}_1, \mathbf{S}_2) = \frac{1}{2} \sum_{k=1}^{n+1} [\log(\lambda_k)]^2,$$

para λ_k autovalor de $\mathbf{S}_1^{-1}\mathbf{S}_2$.

Assim, temos que a distância dada pelo teorema acima é limitante inferior para a distância de Rao do espaço \mathcal{M} .

Em um outro artigo, [5], Calvo e Oller calcularam um limite superior para a distância de Rao. Eles definiram uma distância para o subconjunto $\Theta_{\alpha\Sigma} \subset \Theta$,

$$\Theta_{\alpha\Sigma} = \{\boldsymbol{\theta} = (\boldsymbol{\mu}, \boldsymbol{\Sigma}) \in \Theta; \boldsymbol{\Sigma} = \alpha\boldsymbol{\Sigma}_0, \boldsymbol{\Sigma}_0 \in P_n(\mathbb{R}), \alpha \in \mathbb{R}_+^*\}.$$

Dados dois pontos $\boldsymbol{\theta}_1 = (\boldsymbol{\mu}_1, \boldsymbol{\Sigma})$ e $\boldsymbol{\theta}_2 = (\boldsymbol{\mu}_2, \alpha\boldsymbol{\Sigma})$

$$d_{\alpha\Sigma}^2(\boldsymbol{\theta}_1, \boldsymbol{\theta}_2) = 2 \operatorname{arccosh} \left(\frac{\sqrt{\alpha}}{2} + \frac{1}{2\sqrt{\alpha}} + \frac{1}{4\sqrt{\alpha}} \boldsymbol{\delta}^t \boldsymbol{\delta} \right) + \frac{n-1}{2} \log^2 \alpha,$$

com $\boldsymbol{\delta} = \boldsymbol{\Sigma}^{-\frac{1}{2}}(\boldsymbol{\mu}_2 - \boldsymbol{\mu}_1)$.

Com essa distância eles determinam um limite superior para distância de Rao, d_R , da variedade \mathcal{M} no caso geral. Dados pontos $\boldsymbol{\theta}_1 = (\boldsymbol{\mu}_1, \boldsymbol{\Sigma}_1)$, $\boldsymbol{\theta}_\alpha = (\boldsymbol{\mu}_2, \alpha\boldsymbol{\Sigma}_1)$ e $\boldsymbol{\theta}_2 = (\boldsymbol{\mu}_2, \boldsymbol{\Sigma}_2)$, temos que

$$d_R(\boldsymbol{\theta}_1, \boldsymbol{\theta}_2) \leq d_R(\boldsymbol{\theta}_1, \boldsymbol{\theta}_\alpha) + d_R(\boldsymbol{\theta}_\alpha, \boldsymbol{\theta}_2) \leq d_{\alpha\Sigma}(\boldsymbol{\theta}_1, \boldsymbol{\theta}_\alpha) + d_\mu(\boldsymbol{\theta}_\alpha, \boldsymbol{\theta}_2),$$

ou seja, $LS_\alpha = d_{\alpha\Sigma}(\boldsymbol{\theta}_1, \boldsymbol{\theta}_\alpha) + d_\mu(\boldsymbol{\theta}_\alpha, \boldsymbol{\theta}_2)$ é um limitante superior para a distância de Rao entre $\boldsymbol{\theta}_1$ e $\boldsymbol{\theta}_2$.

Podemos melhorar esse limitante escolhendo um α adequado. Em [5], Calvo e Oller determinam uma expressão analítica do escalar α que minimiza a distância entre $\boldsymbol{\theta}_\alpha$ e $\boldsymbol{\theta}_2$, $\alpha = \|\boldsymbol{\Sigma}_1^{-\frac{1}{2}}\boldsymbol{\Sigma}_2\boldsymbol{\Sigma}_1^{-\frac{1}{2}}\|_n^{\frac{1}{n}}$. O mínimo para LS_α pode ser calculado através de métodos numéricos, isto é, podemos encontrar um α_0 tal que $\alpha_0 = \min_\alpha \{d_{\alpha\Sigma}(\boldsymbol{\theta}_1, \boldsymbol{\theta}_\alpha) + d_\mu(\boldsymbol{\theta}_\alpha, \boldsymbol{\theta}_2)\}$.

Calculamos um outro limitante superior para a distância de Rao usando a distância do espaço onde a matriz de covariância $\boldsymbol{\Sigma}$ é diagonal. Dados pontos $\boldsymbol{\theta}_1 = (\boldsymbol{\mu}_1, \boldsymbol{\Sigma}_1)$ e $\boldsymbol{\theta}_2 = (\boldsymbol{\mu}_2, \boldsymbol{\Sigma}_2)$, temos que

$$d(\boldsymbol{\theta}_1, \boldsymbol{\theta}_2) = d((\mathbf{0}, \mathbf{I}); (\boldsymbol{\Sigma}_1^{-(1/2)}(\boldsymbol{\mu}_2 - \boldsymbol{\mu}_1), \boldsymbol{\Sigma}_1^{-(1/2)}\boldsymbol{\Sigma}_2\boldsymbol{\Sigma}_1^{-(1/2)})),$$

Fazendo $\boldsymbol{\theta}_0 = (\mathbf{0}, \mathbf{I}_n)$, $\bar{\boldsymbol{\theta}}_2 = (\bar{\boldsymbol{\mu}}_2, \bar{\boldsymbol{\Sigma}}_2) = (\boldsymbol{\Sigma}_1^{-(1/2)}(\boldsymbol{\mu}_2 - \boldsymbol{\mu}_1), \boldsymbol{\Sigma}_1^{-(1/2)}\boldsymbol{\Sigma}_2\boldsymbol{\Sigma}_1^{-(1/2)})$ e $\boldsymbol{\theta}_\Lambda = (\bar{\boldsymbol{\mu}}_2, \boldsymbol{\Lambda})$, onde $\boldsymbol{\Lambda}$ é a projeção de $\bar{\boldsymbol{\theta}}_2$ na sua diagonal, temos

$$d_R(\boldsymbol{\theta}_1, \boldsymbol{\theta}_2) = d(\boldsymbol{\theta}_0, \bar{\boldsymbol{\theta}}_2) \leq d_R(\boldsymbol{\theta}_0, \boldsymbol{\theta}_\Lambda) + d_R(\boldsymbol{\theta}_\Lambda, \bar{\boldsymbol{\theta}}_2) \leq d_D(\boldsymbol{\theta}_0, \boldsymbol{\theta}_\Lambda) + d_\mu(\boldsymbol{\theta}_\Lambda, \bar{\boldsymbol{\theta}}_2),$$

e $d_{\mathcal{D}}$ é a distância dada na Equação 1. Assim encontramos outro limitante para a distância de Rao dado por $LS_{\Lambda} = d_{\mathcal{D}}(\theta_0, \theta_{\Lambda}) + d_{\mu}(\theta_{\Lambda}, \bar{\theta}_2)$.

Também podemos melhorar o limitante LS_{Λ} através de métodos numéricos, observe que ele é obtido projetando θ_2 no espaço $\Theta_{\mathcal{D}} = \{(\mu, \Sigma); \Sigma = \mathcal{D} \text{ diagonal}\}$. Logo, basta encontrar uma matriz diagonal Λ_0 tal que $\Lambda_0 = \min_{\Lambda} \{d_{\mathcal{D}}(\theta_0, \theta_{\Lambda}) + d_{\mu}(\theta_{\Lambda}, \bar{\theta}_2)\}$.

Munidos desses limitantes, mesmo sem uma expressão explícita para o cálculo da distância de Rao em \mathcal{M} , dados dois pontos nesse espaço podemos determinar o intervalo no qual o valor da distância entre esses dois pontos se encontra.

Fizemos algumas simulações e vimos que, em alguns casos, o nosso limitante (LS_{Λ}) é melhor que o limitante dado por Calvo e Oller (LS_{α}). As figuras abaixo mostram os valores dos limitantes para a distância de Rao entre o ponto $\theta = (0, I_2)$ e um ponto $\theta = (\mu, \Sigma)$. Na Figura 4, tomamos θ , tais que os autovalores da matriz Σ assumem valores próximos de 1 e na Figura 5 os autovalores de Σ assumem valores grandes.

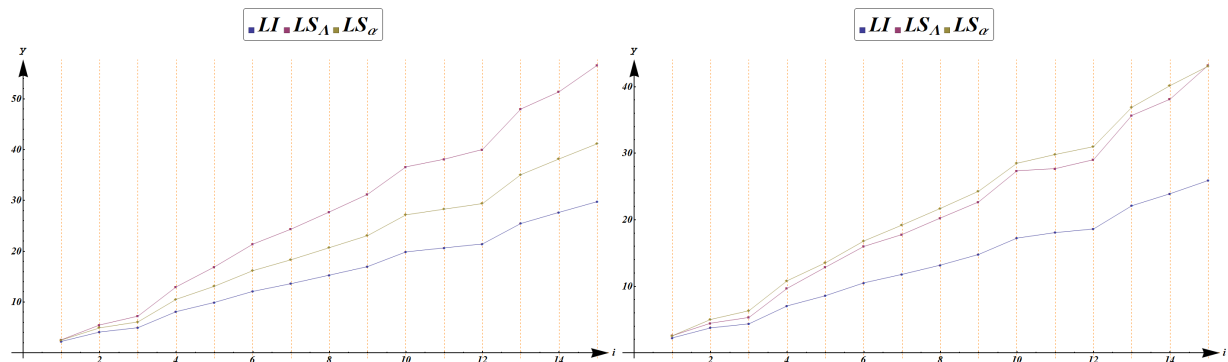


Figura 4: Gráfico dos valores dos limitantes LI , Figura 5: Gráfico dos valores dos limitantes LI , LS_{Λ} e LS_{α} .

Referências

- [1] Amari, S. e Nagaoka, H. *Methods of Information Geometry*, Translations of Mathematical Monographs, Vol.191, Am. Math. Soc., 2000.
- [2] Atkinson, C. e Mitchell, A. F. S., *Rao's Distance Measure*, Samkhyā- The Indian Journal of Statistics, 43:345-365, 1981.
- [3] Burbea, J., *Informative geometry of probability spaces*, Expositiones Mathematica 4, 347-378, 1986.
- [4] Calvo, M. e Oller, J. M., *A distance between multivariate normal distributions based in an embedding into the Siegel group*, Journal of Multivariate Analysis 35.2, 223-242, 1990.
- [5] Calvo, M., e Oller, J. M., *An explicit solution of information geodesic equations for the multivariate normal model*, Statistics and Decisions 9, 119-138, 1991.
- [6] Costa, S. I., Santos, S. A., e Strapasson, J. E., *Fisher information matrix and hyperbolic geometry*, In Information Theory Workshop, 2005 IEEE (pp. 3-pp), IEEE, 2005.
- [7] Costa, S. I. R., Santos, S. A., e Strapasson, J. E., *Fisher information distance: a geometrical reading*, arXiv preprint arXiv:1210.2354, 2012.
- [8] Rao, C. R., *Information and the accuracy attainable in the estimation of statistical parameters*, Bulletin of the Calcutta Math. Soc. 37:81-91, 1945.
- [9] Skovgaard, L. T., *A Riemannian geometry of the multivariate normal model*, Scand. J. Statist., 11:211-223, 1984.